# 予防または保存修復歯科に用いられる一般的な歯科材料が象牙質透 過性および再石灰化に及ぼす影響

S Sauro • I Thompson • TF Watoson

## 臨床的関連

生体活性ガラス(Sylc)は、唾液と反応し、脱灰したコラーゲン線維内でヒドロキシカーボネートアパタイト(HCA)を沈着させ、象牙細管を閉塞させる。したがって、象牙質知覚過敏症(DH)の治療に適した脱感作性生体活性物質として、かつ、歯組織の再石灰化させるため、および/または、レジンと象牙質の界面におけるさらなる脱灰を防ぐための接合処置前のエアーカッティングパウダーとして使用できる可能性がある。

\* Salvatore Sauro 博士、准研究員、生体材料・計量生物学・生体光通信学部門、 King's College London Dental Institute、 Guy's、 King's College and St Thomas' Hospitals、 ロンドン、英国。

Ian Thompson 博士、上級講師、准研究員、生体材料・計量生物学・生体光通信学部門、 King's College London Dental Institute、 Guy's、 King's College and St Thomas' Hospitals、 ロンドン SE1 9RT、 英国。

Timothy F Watson 教授、BSc、 BDS、 PhD、FDS、教授・ 学部長、King's College London Dental Institute、 Guy's、 King's College and St Thomas' Hospitals、 ロンドン、英 国。

\*連絡窓口となる著者:17階、Guy's Tower、ロンドン、SE1 9RT、イングランド。

DOIコード: 10.2341/10-225-l

# 要約

本研究の目的は、予防歯科および保存修復歯科 で用いられる一般的な歯科材料に含まれる生体活 性物質によって引き起こされる象牙質の再石灰化 を評価することであった。いくつかの材料をヒト の象牙質セグメントに塗布した。象牙質の透過性 は、20 cm H<sub>2</sub>Oで作動する液体ろ過システムを用 いて定量化した。顕微ラマン、SEM-EDX(走査型 電子顕微鏡-エネルギー分散型X線分析装置)、微 小硬度計算により、象牙質の石灰化度の変化を評 価した。予防材で処理された象牙質は、特に再石 灰化溶液(RSS)に浸漬後の象牙質透過性が異なる 値を示した。生体活性ガラス(Sylc)は、再石灰化 溶液に浸漬した後の象牙質の透過性を低下させ、 象牙質の再石灰化の証であるハイドロキシアパタ イトの沈着を示すことができる唯一の物質であっ た。本研究で使用した他の予防材料を塗布した後 に得られた象牙質透過性の低下は、象牙細管に残 存した材料が存在するためであり、再石灰化溶液 に保存した後には再石灰化効果が見られなかった。 以上のことから、生体活性ガラス予防パウダーが 象牙質の即時の再石灰化を誘導する可能性が示唆 された。

#### 序論

象牙質知覚過敏症 (DH) は、主にエナメル質の脱落や歯肉根面露出による象牙質の露出後の象牙細管液の移動によって引き起こされる。 <sup>1-3</sup> 酸性の飲食物の摂取は、硬い歯科組織を侵食し、DHリスクを高める可能性がある。 <sup>4.5</sup> 実際、特定の酸性飲食物の摂取頻度と象牙細管の露出との間には本質的な関連がある。 <sup>6-8</sup> さらに、食事によ

る酸の摂取を想定した後の歯磨きは、象牙細管の露出を促進しDHを悪化させる可能性がある。<sup>7,9</sup>

DH治療に用いられる脱感作性生体活性物質は、体液や唾液と反応し、脱灰したコラーゲン線維内にヒドロキシカーボネートアパタイト(HCA)を沈着させ、象牙細管を閉塞させることができるはずである。10,11 石灰化プロセスは、細胞外液に非常によく似た尿細管液を介して起こることもあり、歯芽細胞プロセスと連動して石灰化プロセスを組織化する。12-14

本稿の目的は、予防用ペーストまたはエアーポリッシュ/カッティングパウダーに含まれる生体活性物質が、象牙質の再石灰化と象牙細管の閉塞を促進する能力を検証するために行った一連の実験結果を提示することである。本研究で検証した帰無仮説は、生体活性物質を含むすべての予防用ペーストまたはパウダーは、再石灰化溶液(RSS)中に24時間または48時間浸漬すると、象牙細管を閉塞し象牙質組織を再石灰化する能力を有するというものであった。

## 材料および方法

## 象牙質透過性評価

本研究では、外科的な理由で最近抜歯されたヒトの第三大臼歯35本を使用した。まず、低速水冷式ダイヤモンド・ソー(Labcut; Agar Scientific, Stansted, UK)を用いてセメント・エナメル質接合部(CEJ)より1.0 mm下の歯根を除去し、象牙質歯冠部を得た。その後、咬合エナメル質を平行切断で除去し、深部象牙質を露出させた。露出した歯髄腔から、組織鉗子を用いて歯髄組織を慎重に除去した。 残存象牙質厚さ(RDT)は0.7 mmと0.9 mmであった。表1に示した材料に応じて

活性成分	最大 Lp% - (エッチン グされた 象牙質)		PBS、24時間		
		象牙質透過率 % <sup>2</sup>	象牙質透過低下率 %b	象牙質表面の 微小硬度 <sup>c</sup>	- 象牙質透過率 % <sup>a</sup>
3 wt% モノカリウム-モノ水素シュウ酸水溶 液 NaH C <sub>2</sub> O <sub>4</sub> H <sub>2</sub> O pH 2.7	100	9.5 ±1.4 A1	δ -91.5	89.1 ± 1.5 a1	9.6 ± 1.5 A1
生体活性ガラス 100% SiO <sub>2</sub> , Na <sub>2</sub> O, CaO P <sub>2</sub> O <sub>5</sub> SYLC (Osspray Ltd, London, UK)	100	99.6 ±5.2 <sup>B1</sup>	δ -0.4	90 ± 1.3 a1	$21.3 \pm 6.2^{\text{A2}}$
炭酸水素ナトリウム NaHCO3 Cavitront予防用パウダー (Dentsply Corp, London, UK)	100	$98.3 \pm 3.5^{\mathrm{B1}}$	δ -1.7	$89.2 \pm 1.1^{a1}$	$98.5 \pm 3.7^{\mathrm{B1}}$
アミノ酸-グリシン NH2CH2COOH EMS Perio (EMS Corp,) Nyon, Switzerland)	100	$98.9 \pm 4.1^{\mathrm{B1}}$	δ -1.1	90.1 ± 1.2 al	$91.6 \pm 4.5^{\mathrm{B1}}$
CPP-ACP: カゼイン・ホスホペプチド - 非 晶質リン酸カルシウム § GC Tooth Mousse (GC Corp, Tokyo, Japan)	100	59.8 ±9.5 <sup>C1</sup>	δ -40.2	$88.9 \pm 0.8$ al	56.8 ± 9.1 <sup>C1</sup>
8%炭酸カルシウム-アルギニン § Colgate Sensitive Pro-relief (Colgate Palmolive, New York, NY, USA)	100	80.4 ±6.5 <sup>B1</sup>	δ -19.6	89.9 ± 0.9 a1	79.8 ± 6.4 <sup>D1</sup>
5%リン酸ナトリウムカルシウム NovaMint® § NUPRO Solution Prophy Paste (Dentsply)	100	$85.6 \pm 4.5^{\mathrm{B1}}$	δ -14.4	$88.9 \pm 1.1$ a1	$76.5 \pm 4.6^{\mathrm{D1}}$

<sup>『</sup>平均値で報告。35% PA処理後のLpを最大透過率(Lp=100%)とした。

<sup>&</sup>lt;sup>♭</sup>処理前後の-Lp%および透過性の最大値。

<sup>・</sup>括弧内の数値は歯質表面の微小硬度[KHN]を表す。

同一の大文字は、同一の培地で保存された異なる製品処理において列間に差異がないことを示している。同一の数字は、*RSS* 浸漬時間に関して行間に差異がないことを示している(p>0.05)。 記号 § が付されている製品は、活性成分に加えて他の成分が混合されている。

GC Tooth Mousse™:グリセロール、D-ソルビトール、二酸化ケイ素、CMC-Na、プロビレングリコール、酸化チタン、キシリトール、リン酸、酸化亜鉛、サッカリンナトリウム、p-ヒドロキシ安息香酸プロピル;Sensitive Pro-relief™:水和シリカ、グリセリン、水、炭酸水素塩、香料、セルロースガム、サッカリンナトリウム;NUSolutions™:水和シリカ、グリセリン、水、炭酸水素塩、香料、セルロースガム、サッカリンナトリウム;NUSolutions™:水和シリカ、グリセリン、水、炭酸水素塩、香料、セルロースガム、サッカリンナトリウム。

PBS、24時間		PBS、 48 時間			クエン酸		
象牙質 透過低下率 % <sup>b</sup>	象牙質表面の 微小硬度 <sup>c</sup>	象牙質透過率 % <sup>a</sup>	象牙質 透過低下率 % <sup>b</sup>	象牙質表面の 微小硬度 <sup>c</sup>	象牙質 透過率 % <sup>1</sup>	象牙質 透過低下率 % <sup>b</sup>	象牙質表面の 微小硬度 <sup>c</sup>
δ -91.4	$89.5\pm1.4^{\mathrm{al}}$	$9.6 \pm 1.6^{\mathrm{A1}}$	δ -91.4	$89.5 \pm 1.4^{\mathrm{al}}$	$9.8 \pm 1.1^{A1}$	δ -91.2	$89.8 \pm 2.1$ al
δ -78.7	60.1 ± 3.5 b2	$20.9 \pm 5.9^{\mathrm{A2}}$	δ -79.1	$57\pm3.4^{\mathrm{b}2}$	$38.9 \pm 5.5$ B2	δ -61.1	85.3 ± 1.3 al
δ -1.5	86.7 ± 1.0 a1	97.3 ± 3.5 <sup>B1</sup>	δ -2.7	$86.1 \pm 0.9^{\mathrm{al}}$	$106.8 \pm 6.5^{\mathrm{Cl}}$	δ +6.8	89.1 ± 1.2
δ -8.4	88.9 ± 1.1 a1	93.4 ± 5.1 <sup>B1</sup>	δ -6.6	88.6 ± 1.1 al	105.2 ± 5.5 c1	δ +5.2	89.9 ± 0.9 a1
δ -43.4	80.2 ± 1.1 a1	54.3 ± 8.5 <sup>C1</sup>	δ -45.7	$78.9 \pm 1.1^{\mathrm{al}}$	$84.2 \pm 9.1$ D2	δ -15.8	89.5 ± 1.0 a1
δ -20.2	88.1 ± 1.0 a1	79.1 ± 6.3 <sup>D1</sup>	δ -20.9	87.7 ± 1.1 al	89.7 ± 5.5 <sup>D1</sup>	δ -10.3	89.1 ± 0.8 <sup>a1</sup>
δ -23.5	87.1 ± 0.9 a1	74.9 ± 4.5 <sup>D1</sup>	δ -25.1	87.7 ± 1.0 a1	85.1 ± 5.1 <sup>D1</sup>	δ -4.9	89.3 ± 1.0 al

7 つのグループ (n= 5) に分けた。試料は、内径5 cmのゴム製"O"リングのペアを備えた改良型Perspex™ (Perspex Distributions Ltd, London, UK) 分割室装置内に配置し、流体ろ過のために象牙質表面を標準化した。<sup>15</sup>

 $25 \mu \text{L容量の内径極小チューブ (Microcaps;}$  Fisher Scientific, Atlanta, Georgia, USA) を圧力容器 (20 cm  $\text{H}_2\text{O}$ ) と象牙質表面の間に水平に配置した。内径極小チューブを用いて得られた透水量を象牙質透過率 (Lp) に換算した。Lp =Q/Atで表されるが、ここではLpは象牙質透過率 ( $\mu \text{L}$  cm<sup>-2</sup> min<sup>-1</sup>)、Q は流体量 ( $\mu \text{L}$ )、A は象牙質の面積 (cm<sup>2</sup>)、t は時間 (分) である  $^{16}$ 。

500グリットの研磨紙を30秒間用いて均質な スミア層を作り、象牙質の最小透過率を評価し た。その後、スミア層を除去し、35%オルトリ ン酸溶液(PA)で象牙質表面を30秒間処理し、 最も高い透過率(Lp最大値=100%を任意に割当 て)を評価した。Lpが100%では、試験処理後 の象牙質透過性の変化を評価することが可能に なる。象牙質透過率を算出し、最大Lp値 (100%) に対するパーセンテージ(Lp%)で表す ために、各グループの試料を実験製品で処理し た。本研究の目的は、象牙質の再石灰化およびミ ネラル形成による象牙細管閉塞性能の評価である ため、試料はラクダ毛ブラシで優しくなでるよう に製品を塗布する方法で処理された。最後に、試 料を軽く水洗いして余分な製品を除去した上で RSSで24時間および48時間保存し、再石灰化が象 牙質透過性に及ぼす影響を評価した。RSS(単 位: g/L) は、CaCl2 (0.103) 、MgCl26H20

(0.019)、KH2PO4 (0.544)、KCl (30)、HEPES (酸)緩衝液(4.77)、pH7.4であった。
RSS溶液は12時間ごとに交換した。本研究では、
0.3%のクエン酸溶液(pH 3.2)も5分間使用し、
各試料の耐酸性を試験した<sup>15</sup>。

# ラマン顕微鏡による評価

厚さ1.5±0.1 mmの象牙質試料35片(2×2 mm)を0.02 Mクエン酸(pH 3.5)中で72時間、37℃で一定攪拌(120 rpm/s)しながら完全に脱灰した。その後、試料を脱イオン水で大量に洗浄し、上記の実験製品で処理した。対照試料は脱イオン水中に保存し、異なる製品で処理した象牙質試料は24時間および48時間RSS溶液中に浸漬させた。

再石灰化期間終了後、20×対物レンズ付き Leica DM/LM光学顕微鏡とCCD検出器に研究 用モジュール型分光器 (Renishaw InVia; Renishaw plc, Gloucheshire, UK) を取り付けた コンピュータ制御共焦点レーザーラマン装置で、 試料を湿潤状態で検査した。ラマン散乱効果を 引き起こすために、785nmで動作する近赤外ダ イオードレーザーのスポットサイズ≤1μmを使 用した。このモデルの 200から3000 cm<sup>-1</sup>までの スペクトルを対象範囲としている。波長と強度 の較正は、シリコン標準とソフトウェアに統合 された較正システム (WiRE 3.2; Renishaw) を 用いて、製造会社の仕様にしたがって行われた。 象牙質表面全体を電動コンピュータ試料台を用 いてX軸とY軸に10.0 i`m のステップで検査し、 ソフトウェア Wire 3.2 (Renishaw) を用いて961 cm<sup>-1</sup> のハイドロキシアパタイトのピークを分析 した。20,21

## SEM-EDX評価

共焦点ラマン分光分析の非破壊手順に従い、試料を脱イオン水に1時間浸漬した後、脱水し、アルミニウム製支柱に装着し、炭素でスパッタコーティングした。試料の形態と微細構造を、エネルギー分散型X線微量分析装置(EDX)

(Oxford Instruments, Abingdon, UK) を取り付けた日立S3500走査電子顕微鏡(Hitachi High Technologies, Maidenhead, UK) を用いて、加速電圧8kVの条件下で分析した。

## 微小硬度評価

また、厚さ1.5±0.1の象牙質ディスク35枚(2×2mm)をクエン酸溶液(0.02M、pH3.5)に5分間浸漬して部分脱灰を行った。ヌープ硬度数(KHN)で表す微小硬度測定は、微小硬度計(Leitz Microhardness Tester; Ernst Leitz Wetzlar GmbH, Wetzlar, Germany)のヌープ圧子を用いて、荷重 100g、滞留時間20秒という条件下で行われた。各象牙質スライスを1つの試料単位とした。各象牙質表面から湿潤状態で無作為に5回測定し、先端セラミックスのヌープ圧子硬度法(KHN=定数×試験荷重/圧子対角線の2乗)の計算式を用いて精緻化した。すべての圧痕の寸法は歯面の機械的な回復による収縮を避けるため、圧痕の直後に測定された。

## 統計的分析

統計的分析はSPSS16.0(SPSS Inc. Chicago, IL, USA)プログラムを用いて行われた。結果の妥当性および正規性の確認のためにShapiro-Wilk WテストとLeveneテストを使用した。統計的差異は、異なる予防措置の効果および異なる課題の差異を評価する二元配置分散分析によって確認された(p,0.01)。グループ間の有意差(p,0.05)の分離と比較には、フィッシャーの最小有意差検定を使用した。

## 結果

## 象牙質透過性評価

PAエッチングを施した象牙質試料の透水性を、任意に 100%とみなすとともに、その後いずれかの実験処理を施した各試料の対照グループを表すものとした。

本研究で使用したすべての製品は、塗布直後およびRSS 浸漬後の象牙質透過率に異なる影響を与えた(表 1)。例えば、モノカリウムーモノ水素シュウ酸水溶液 3wt%は最も高い象牙質透過率の低下(-91.5%)を引き起こした。一方、RSS浸漬およびクエン酸浸漬では、統計的な変化は認められなかった。

生体活性ガラス、炭酸水素ナトリウムおよびアミノ酸グリシンパウダーを酸エッチングされた象牙質上に塗布しても、塗布直後の象牙質透過性は統計的に減少しなかった。一方、生体活性ガラス(Sylc)を脱灰象牙質上に塗布し、RSSに24時間浸漬した場合、統計学的に象牙質透過性の低下が認められ、48時間浸漬後の象牙質透過性の低下は一79.1%であった。炭酸水素ナトリウム(Cavitron Prophy Powder)およびアミノ酸グリシン(EMS Perio)予防用パウダーはRSS浸漬後の象牙質透過性の低下を示さず、クエン酸の攻撃は自身の対象グループよりも象牙質透過性を増加させた(表 1)。

カゼイン・ホスホペプチド-非晶質リン酸カルシウム含有 予防用ペースト(GC Tooth Mousse)に関しては、塗布後 最大-40.2%の透過率低下が認められた。炭酸カルシウム-アルギニン含有プロフィペースト(Colgate Sensitive Pro-Relief)8%とリン酸ナトリウムカルシウム含有予防用ペー スト(NovaMin®; Nupro Solution)5%はそれぞれ -19.6%、-14.4%の 透過率低下が認められたが。しかし、 これらの材料はRSS浸漬後も透過性の低下は認められず、 クエン酸の攻撃は処理象牙質の透過性を増加させた(表 1)。

## ラマン顕微鏡による評価

ラマン分光法では、健全象牙質(対照グループ)は、  $400\sim1100~{\rm cm}^{-1}$ にまたがるピークが特徴的で、象牙質の鉱相( ${\rm v}^{1}$ - ${\rm PO}^{3-4}$ : 水酸化炭酸アパタイト [HCA] )  $^{17,18}$  を代表

する961 cm<sup>-1</sup>のピークが最も顕著だった。有機基振動モ ード(アミドおよびCH)は1200~3000 cm<sup>-1</sup>の領域で検 出された(図1A-a)。逆に、完全に脱灰した象牙質試料 では、400~1100cm<sup>-1</sup>の領域にピークがなく、リン酸基が存 在しないことを示し(図1A-b)、有機成分を表す強い自家 蛍光信号が観測された。生体活性ガラス (Sylc) で処理し、 その後RSSに浸漬した脱灰試料は、400~1100cm<sup>-1</sup>の領域に ピークを示し、961cm<sup>-1</sup>に顕著なピークを示した(図1Ac)。炭酸水素ナトリウム (Cavitron Prophy Powder) の塗 布とRSS浸漬後は逆に、完全に脱灰した象牙質試料では、 400~1100cm<sup>-1</sup>の領域にピークがなく、リン酸基が存在しな いことを示し(図1A-b)、有機成分を表す強い自家蛍光信 号が観測された。生体活性ガラス (Sylc) で処理し、その後 RSSに浸漬した脱灰試料は、400~1100cm<sup>-1</sup>の領域にピーク を示し、961cm<sup>-1</sup>に顕著なピークを示した(図 1 A-c)。炭 酸水素ナトリウム(Cavitron Prophy Powder)の塗布とRSS 浸漬後はHCAのピークが観察されず、逆に脱灰した象牙質 コラーゲンを表す強い信号が明確に確認された(図1Ad)。脱灰した象牙質を他の製品で処理した場合も、RSSに 24時間および48時間浸漬した場合も、ラマン測定でHCAの 形成は認められなかった(図2B-E)。

## SEM-EDX評価

さらに、象牙細管の咬合に伴う再石灰化過程を元素感受性 検出器(EDX)を用いた走査電子顕微鏡によってさらに調 査し<sup>19</sup>、実験計画に従って処理した象牙質表面内の元素組成 (CaおよびP/O)を定性的に記録した。生体活性ガラス (Sylc)で処理し、その後RSSに浸漬した脱灰試料は、400 ~1100cm<sup>-1</sup>の領域にピークを示し、961cm<sup>-1</sup>に顕著なピークを示した(図1A-c)。対照となるCaおよびP/O比は、塗抹層に覆われた象牙質から記録された(図2A)。このグループの試料では、高いCaおよびP/O比が観察された(図2a)。生体活性ガラス(Sylc)で処理し、RSSに24時間および48時間浸漬した試料からは、同様のCa/PおよびO比が検出された(図2B)。炭酸水素ナトリウム(Cavitron Prophy Powder)またはアミノ酸グリシン(EMS Perio)を塗布し、その後RSSに浸漬しても、象牙細管のCa濃度およびP/O比の増加は認められなかった(図2C、D)。

予防用ペーストで処理した試料でも同様の結果が得られた。これらの象牙質試料の細管からはCaおよびP/O比の増加は特に認められず(図3)、代わりに一定のケイ素(Si)の存在が認められた(図3c、d)。

# 微小硬度評価

この実験の結果、Knoop圧痕硬度(KHN)の値が高いほど、象 牙質表面の表面硬度が低いことがわかった(表1)。例えば、 健全象牙質(対照グループ)が最も高い表面硬度を示した (49.1)。一方、完全に脱灰された象牙質は、脱灰象牙質の 粘弾性特性により、表層微小硬度値は89.9であった。脱灰象 牙質に実験製品を即時に塗布した場合、脱灰象牙質で得られ た微小硬度との比較において、微小硬度に変化は認められな かった。逆に、生体活性ガラス(Sylc)で処理した試料では、 RSS浸漬により象牙質表層部の微小硬度が増加した。その他の 製品で処理した試料には変化が認められなかった。

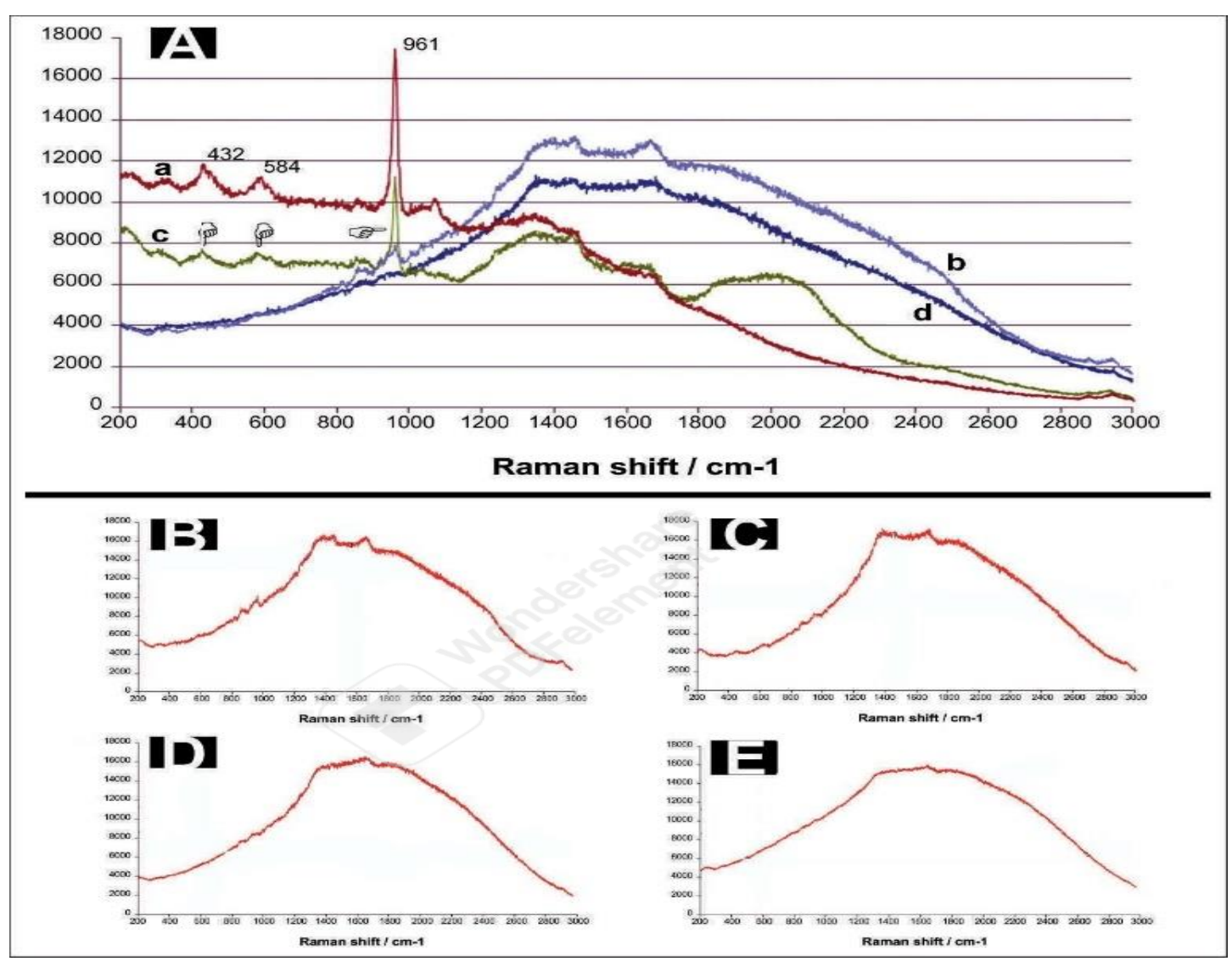


図 1。異なる再石灰化製品で処理し、その後24時間および48時間RSSに浸漬した象牙質の極小ラマン分光スペクトル。(A-a):健全な象牙質は432、584cm- $^{I}$ にピークがあることが示されており、960cm- $^{I}$ に最も強度の高いピークがあることがHCA成分を表している(指示表示あり)。(A-b):完全に脱灰された象牙質には、1200~3000cm- $^{I}$ のラマン領域があり、象牙質の有機成分を表している。(A-c):生体活性ガラスで処理し、RSS溶液に浸漬した象牙質のラマンスペクトル。432、584cm- $^{I}$ にピークが存在し、960cm- $^{I}$ にHCAの生成と沈着を表す最高ピークが存在することがわかる。(A-d):CPP-ACPで処理し、RSSに浸漬した象牙質のラマンスペクトル。HCAのピークは存在せず、有機成分を表す1200~3000 cm- $^{I}$ の高強度領域のみが存在することが確認できる。この領域の強度は完全に脱灰された象牙質 (A-b) で観察される強度よりもわずかに低い。炭酸水素ナトリウム (B),アルギニンカルシウム-炭酸塩 (C) で処理した試料でも同様の状況が観察された。Nupro (5%ノバミン生体活性ガラス含有) (D)、100%アミノ酸グリシン (E) でも同様の結果が得られた。

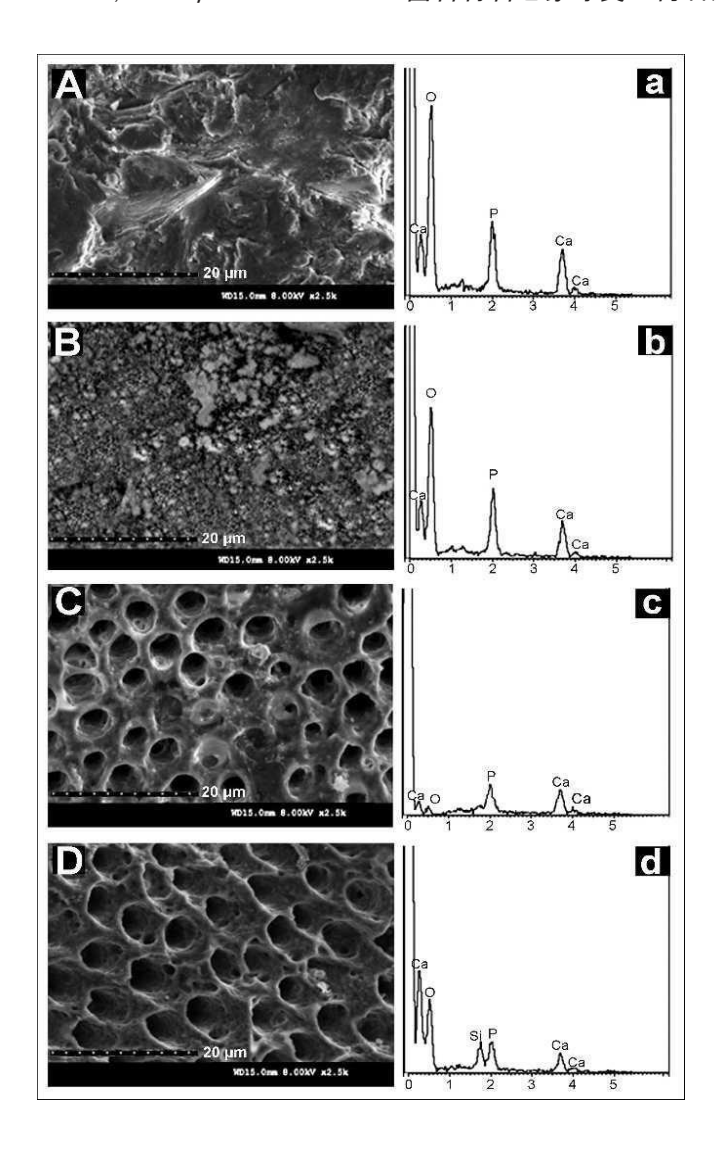


図2。象牙細管が露出していないスミア層被覆象牙質(対照グループ)のSEM-EDX像(A)および鉱化象牙質特有のCaとP/Oの高いピークを有するEDXスペクトル(A)。脱灰象牙質表面を生物活性ガラス(Sylc)で処理し、RSSに浸漬すると、HCAの沈着が誘発された(B)。これらの試料のEDXスペクトルは、対照試料で観察されたものと同等の高いCaおよびP/Oピークの存在を示している(b)。(Cavitron Prophy Powder)(C)または(EMS Perio)(D)の塗布により、RSS浸漬後の信頼性の高いHCA沈着は認められなかった(c, d)。

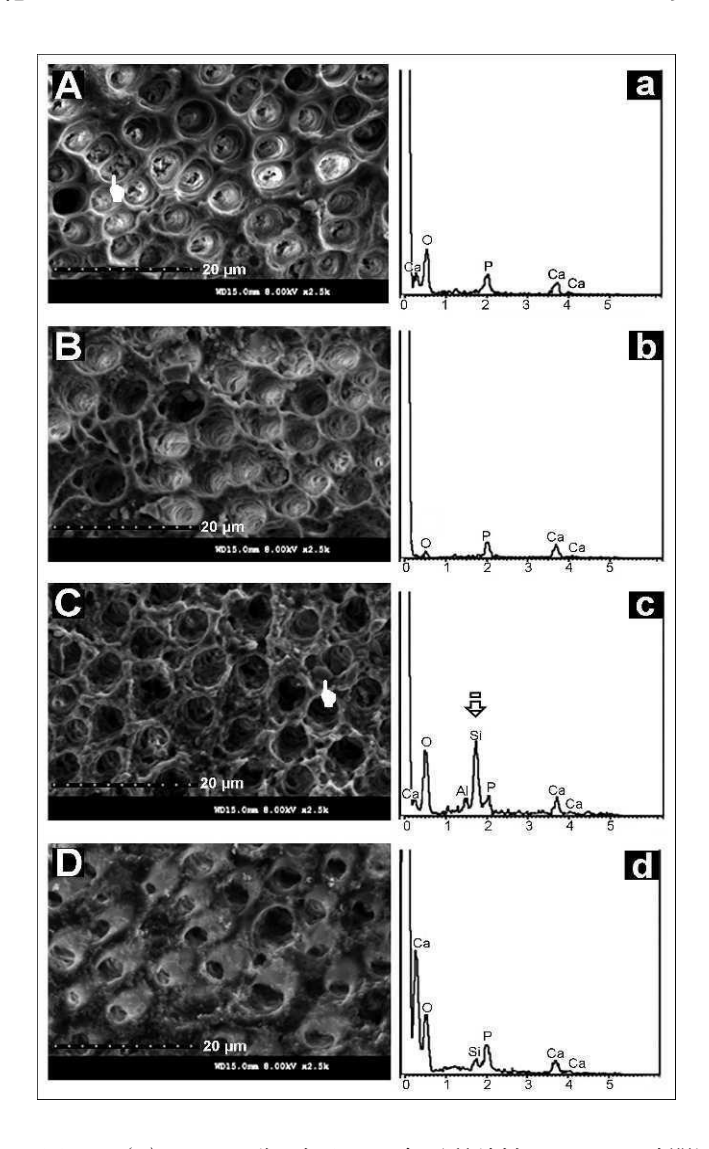


図3。(A): シュウ酸で処理した象牙質試料をRSSに48時間浸 漬した際のSEM-EDX顕微鏡写真で、象牙細管(指示表示あり) 内部の数ミクロン深さに結晶状の沈着物が存在することがわ かる。EDXスペクトルは象牙質表面にCaとP/Oの低いピーク を示している(a)。脱灰象牙質をNupro NU Solutions™で処理 し、RSSに浸漬してもHCAの沈着は生じなかった。(B):EDX スペクトルはCaとP/Oの低いピークを示している(a)。(C): アルギニン-炭酸カルシウムを8%含むColgate Sensitive Pro-Reliefで処理した象牙質試料をRSSに48時間浸漬したSEM-EDX顕微鏡写真では、象牙質表面に破片が非常に少なく、多 くの開いた象牙細管が存在する(指示表示あり)。また、こ の場合、EDXスペクトルは、Caと P/Oのピークが低く (a)、 象牙細管内部にはケイ素が多く存在する(矢印)。GC Tooth Mousse (D)を塗布した場合、RSS浸漬後、管内に信頼性の高 いHCAの沈着は生じなかった。しかし、象牙細管内腔の縮小 (2-3 μm) だけは認められた。同様に、CaとP/Oのピークが 低く、象牙細管内にシリコンの存在が示唆された(d)。

## 考察

象牙質の再石灰化と象牙細管内の結晶性アパタ イトの形成は、知覚過敏の臨床治療において、象 牙質の透過性を低下させる信頼性の高いアプロー チとなる可能性がある。11,12 さらに、この考え方 は、レジン接着象牙質のハイブリッド層内の微小 透過性を低減するために考慮される可能性がある。 13 予防歯科や保存修復歯科で使用される多くの歯 科製品は、DHの臨床症状を軽減し、象牙質の再石 灰化を誘導することをメーカーの主張として掲げ てきた。しかし、これらの材料のほとんどは、人 エスミア層やスミア栓の形成を促進する機械的な 処置によってのみ、象牙細管を閉塞することがで きる。<sup>9,16</sup> 現在利用可能な臨床材料の範囲では、 活性成分の再石灰化の可能性に関する情報はほと んどない。本研究の目的は、一連の実験を行い、 予防用ペーストやエアーポリッシング/カッティン グに含まれる生体活性物質が再石灰化や象牙細管 の咬合を促進する能力を検査することであった。 本研究では、生体活性ガラスパウダー(Sylc)が代 替材料と比較して有意に象牙質再石灰化作用を示 すことを実験的に確認した。生体活性ガラスは幅 広い臨床応用が可能であり、現在では歯周病学に おける骨代替物、耐荷重性セラミックス製椎体ス ペーサー、エアーポリッシュ法における象牙質脱 感作剤として使用されている。15,17

生体活性ガラスは、アルミナに代わる非機械的な窩洞形成剤として、エアカット/アブレージョンユニットでの修復処置の際にも使用することができる。その臨床使用には、患者が感じる痛みの軽減、虫歯象牙質の選択的除去、応力集中を最小化する丸みを帯びた内腔角調製など、多くの利点がある。18 ラマン顕微鏡による評価では、Sylc生物活性ガラスで処理し、その後24時間および48時間RSSに浸漬した脱灰象牙質は、432 cm<sup>-1</sup>、584 cm<sup>-1</sup>にピークが再出現するが、961 cm<sup>-1</sup>に高強度のシグナルを持つことを特徴とし(図1Ac)、象牙質の再石灰化を示していた。19,20 これらの試料で観察された象牙質の再石灰化は、RSSに浸漬した脱灰Sylcバイオガラス処理試料の表面微小硬度の増加と

いう結果により確認された(表1)。この結果は、 本研究で使用したパウダーや予防用ペーストで処 理した他のどのグループの試料でも観察されなか った。実際、生体活性ガラス以外の試験材料から は再石灰化を示すものは観察されなかった。象牙 質のスペクトルは、完全に脱灰した象牙質の試料 で観察されたスペクトルと同等であり、脱灰象牙 質の存在を表す1200から3000 cm-1に及ぶ高強度領 域が見られた(図 1 Ab)。<sup>20</sup> また、今回使用した Sylc生体活性ガラスが象牙質の再石灰化に適したア プローチであり得ることを、象牙質の透過性の評 価によって確認することができた。実際、露出し た象牙質をSylc生体活性ガラスパウダーで処理し、 RSSに48時間浸漬した場合にのみ、象牙質透過性 の低下が得られた(表1)。他方、予防用ペース トは脱灰象牙質への塗布直後には象牙質透過性を 低下させたが、RSS浸漬後にはそれ以上の低下は認 められなかった。

SEM-EDXの調査では、CaとP/Oのピークが低 いスペクトルと、象牙細管内にケイ素のピークが 一定に存在するスペクトルが示された(図3)。こ れらの結果から、本研究で用いられた予防用ペー ストで処理した試料で観察された象牙質透過性の 低下は、HCAの沈着を介さず、材料プラグの浸透 による細管の閉塞によって誘導されたことが明ら かになった。<sup>21</sup> 逆に、SEM-EDXは、Sylc生物活 性ガラスがHCAの細管内および象牙質表面への沈 着を誘発することを示した(図2B-b)。Sylc生物 活性ガラスによる再石灰化プロセスは、同時の生 体模倣プロセスによるものであり、ケイ酸 Si(OH)4の放出およびそれに続くカルシウムとリ ン酸塩の沈着による重縮合反応によって特徴づけ られる。実際、リン酸ナトリウムカルシウムを唾液や 体液に類似した液体に浸すと、1分以内にナトリウ ムイオン  $(Na^+)$  は水素イオン  $(H^+$ または $H_3$   $O^+)$ と置き換わり始める。22-24 この迅速なイオン交換 により、カルシウム (Ca2+) とリン酸塩 (PO<sup>3-4</sup>) 種が粒子構造から放出される。小幅な局所的かつ 一時的なpHの上昇が起こり、粒子や唾液からカル シウムとリン酸塩の沈着を促進し、歯の表面と脱 灰象牙質内に非晶質リン酸カルシウム層 (CaO-

P<sub>2</sub>O<sub>5</sub>) を形成する。化学反応とCa-P複合体の沈着 が続くと、この層は結晶化し ヒドロキシカーボネ ートアパタイトとなるが、化学的・構造的に生体 アパタイトと類似している。22,23 残留するリン酸 ナトリウムカルシウム粒子とHCA層の組み合わせ により、再石灰化と象牙細管の物理的な咬合が実 現する。HCAの形成を促進するリン酸ナトリウム カルシウムによって開始される化学反応は、接合 処置中に使用された場合、脱灰した歯質の処理、 さらなる脱灰の防止、および樹脂と象牙質の界面 内のハイブリッド層の再石灰化にも有用である可 能性がある。しかし、Nupro NU Solutions™はカ ルシウムイオンとリン酸イオンが塗布された生体 活性ガラスを包含する唯一の予防用ペーストであ るが、この製品は1回の塗布と24時間または48時間 のRSS溶液への浸漬では象牙質の再石灰化を誘導で きないことが本研究により証明された。

結論として、本研究で用いたすべての歯科材料は、再石灰化溶液(RSS)に24時間または48時間 浸漬した後に象牙質を再石灰化し、象牙細管を咬 合することができるという帰無仮説を棄却しなければならない。

さらに、修復物の長寿命化を目的として、エアカットや接合の際に使用した場合のハイブリッド層に対する生体活性ガラスの再石灰化効果を評価するための研究が進められている。

## 謝辞

本研究は、Academy of Operative Dentistryの2010 Ralph Phillips Research Fundの支援を受けて実施した。また、「国立保健研究所(NIHR)イノベーションのための発明(i4i)プログラム」による、King's College London Trust に対する保健省の支援に謝意を表する。

(2010年12月6日受理)